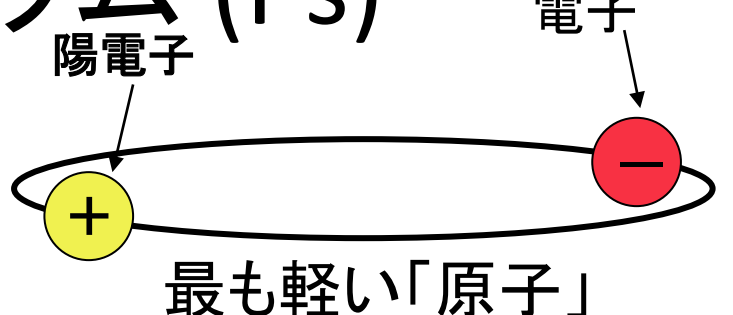
## オルソポジトロニウム崩壊における ガンマ線スペクトル測定

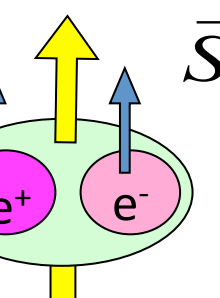
大和田健太、森永真央、難波俊雄<sup>A</sup>、浅井祥仁、小林富雄<sup>A</sup> 東京大学理学系研究科、東京大学素粒子物理国際研究センター<sup>A</sup>

> 第48回 アイソトープ・放射線研究発表会 日本科学未来館

# 1.ポジトロニウム (Ps)

• 電子(e<sup>-</sup>)と陽電子(e<sup>+</sup>)の 束縛系



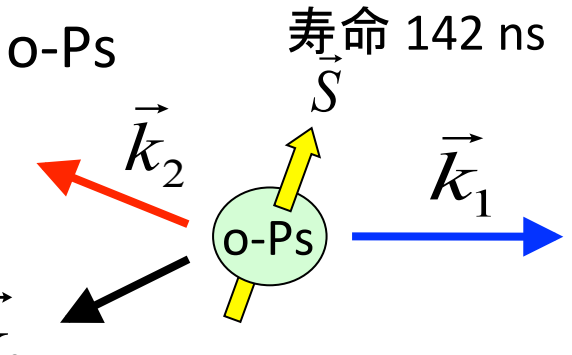


 $\overline{S}$  = 1 (スピン三重項)

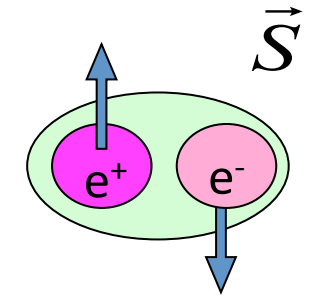
オルソポジトロニウム(o-Ps)

スピン=1 光子と同じ量子数

o-Ps  $\rightarrow$  3 $\gamma$  (, 5 $\gamma$ , ...)



連続スペクトル



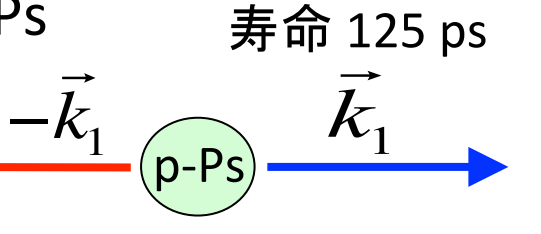
S = 0 (スピン一重項)

スピン一重項) p-Ps

パラポジトロニウム (p-Ps)

スピン=0 スカラー粒子

p-Ps  $\rightarrow$  2 $\gamma$  (, 4 $\gamma$ , ...)



511 keV 単色

基底状態における2つのスピン固有状態間のエネルギー差 =超微細構造(HFS)<sup>2</sup>

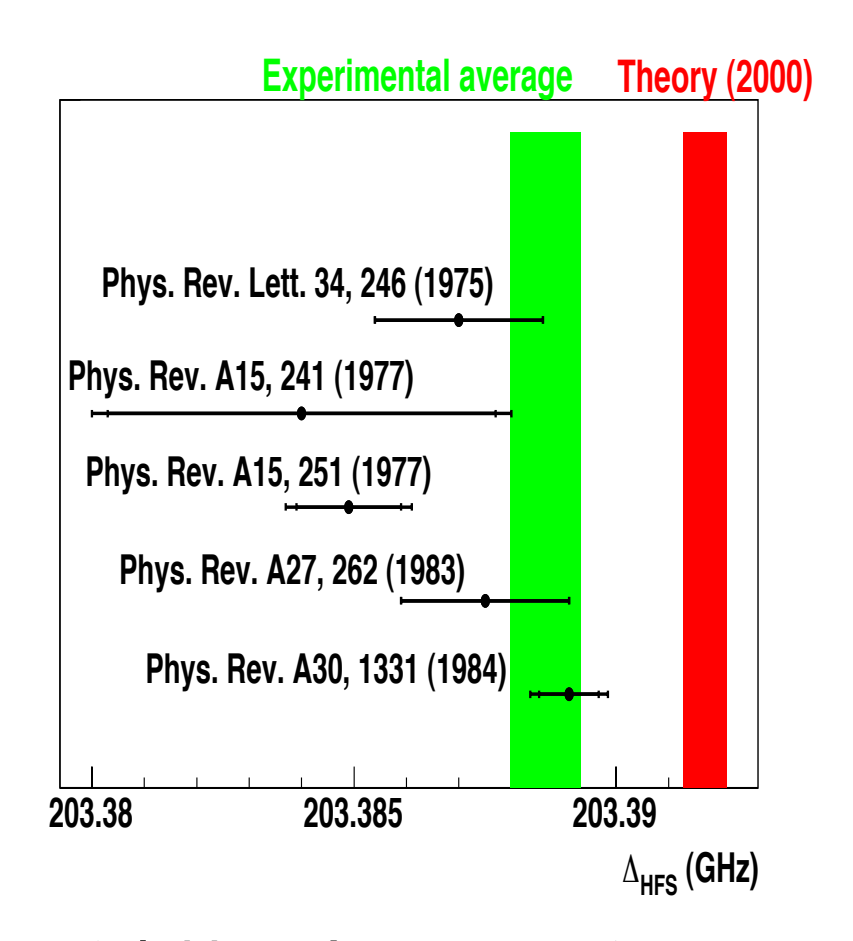
### 1.2 HFSのずれと未知粒子の可能性

PsのHFSの値は 実験と理論で乖離している。

→未知粒子が存在する可能性

Ex) 未知粒子の質量が数MeV  $\rightarrow \alpha_x \sim 10^{-6}$ 

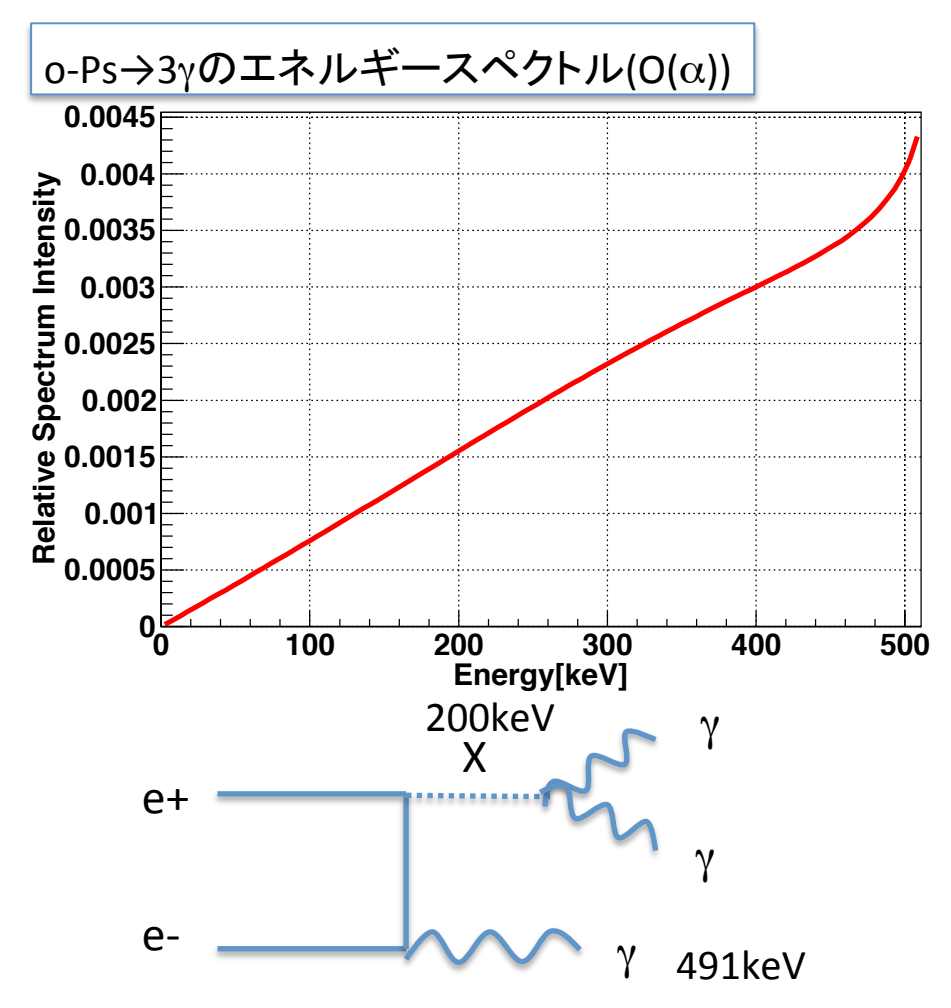
未知粒子が存在した場合、 HFSに影響を与えるだけでなく、 o-Psの崩壊におけるエネルギー スペクトルがずれてくる。



o-Ps→3γのエネルギースペクトルは未だ直接測定されていない

➡ エネルギースペクトルの精密測定によって未知粒子を探索する

#### 2.o-Psの崩壊における未知粒子探索



短寿命の未知粒子X 弱い制限しかついていない

#### 質量が

O(MeV)→スペクトル全体がゆがむ

O(keV)→スペクトルの一部がゆがむ

Ex.)未知粒子Xの質量~200keVだった場合、 491keV辺りがずれる。

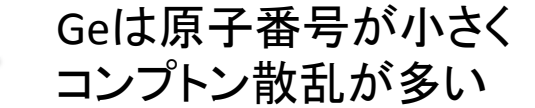
Γ(o-Ps→Xγ)/Γ(o-Ps→3γ)>10⁻⁵の場合、 491keVは0.1%程度ずれる。



1keV当たりの統計誤差を0.1%以下におさえた精密測定をする

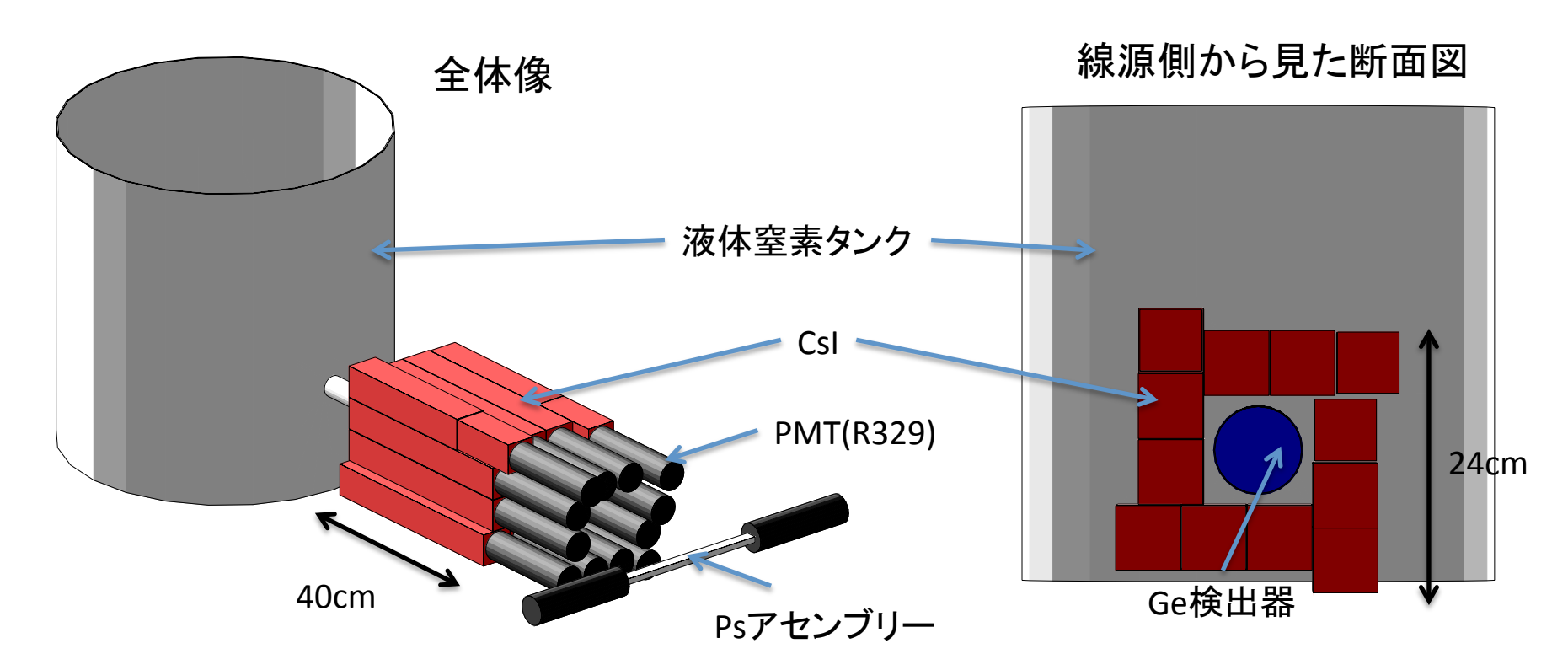
## 3.1検出器(コンセプト)

エネルギースペクトルを精密測定するために、 分解能の良い半導体Ge検出器を用いる





コンプトン散乱を抑制する為に、Ge検出器の周りをveto検出器で囲み、veto検出器でエネルギーを落としたイベントをvetoする



## 3.2γ線検出器(Ge)

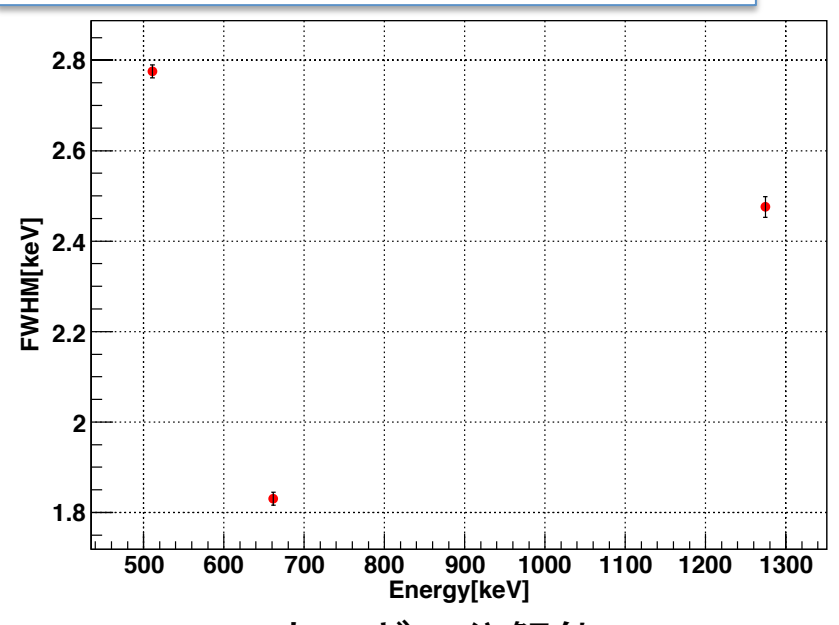
#### 液体窒素タンク



Ge検出器: φ60.3×67.4mm

型番: 28-TP10096

#### Ge検出器でのエネルギー分解能(FWHM)



エネルギー分解能

FWHM=2.78keV @ 511keV

1.83keV @ 662keV

2.47keV @ 1275keV

511keVのγ線はe+e-の対消滅によって生成 →e-のfermi motionにより分解能が高くでる

### 3.3 Ps アセンブリー

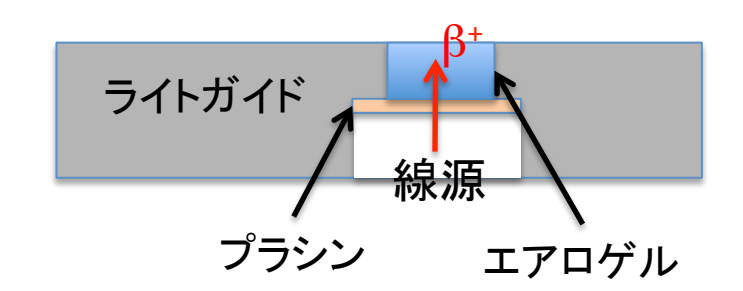
- <sup>22</sup>Na(380kBq)線源でβ+を生成する。
- プラスチックシンチレータでβ+をタグし、 Psの生成時間を求める。



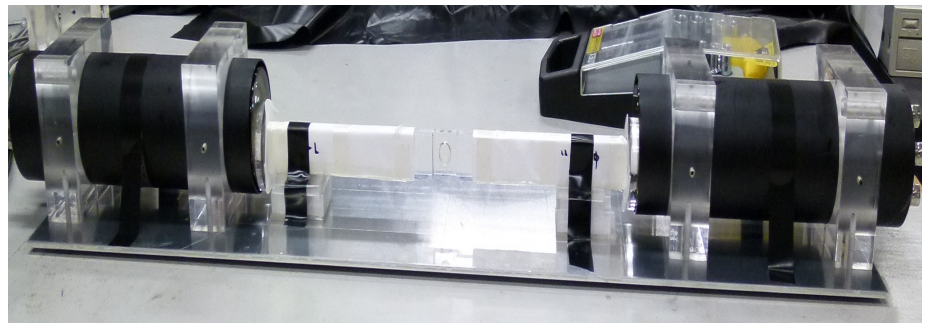
Ge検出器とdelayed coincidenceをとり、o-Psのeventを選択する

- エアロゲル中でo-Ps を生成
- 線源周りは物質を少なくして、ライトガイドで 左右のPMTまでのばす
- 2つのPMTでcoincidenceをとる事により、 β+を確実にタグする。

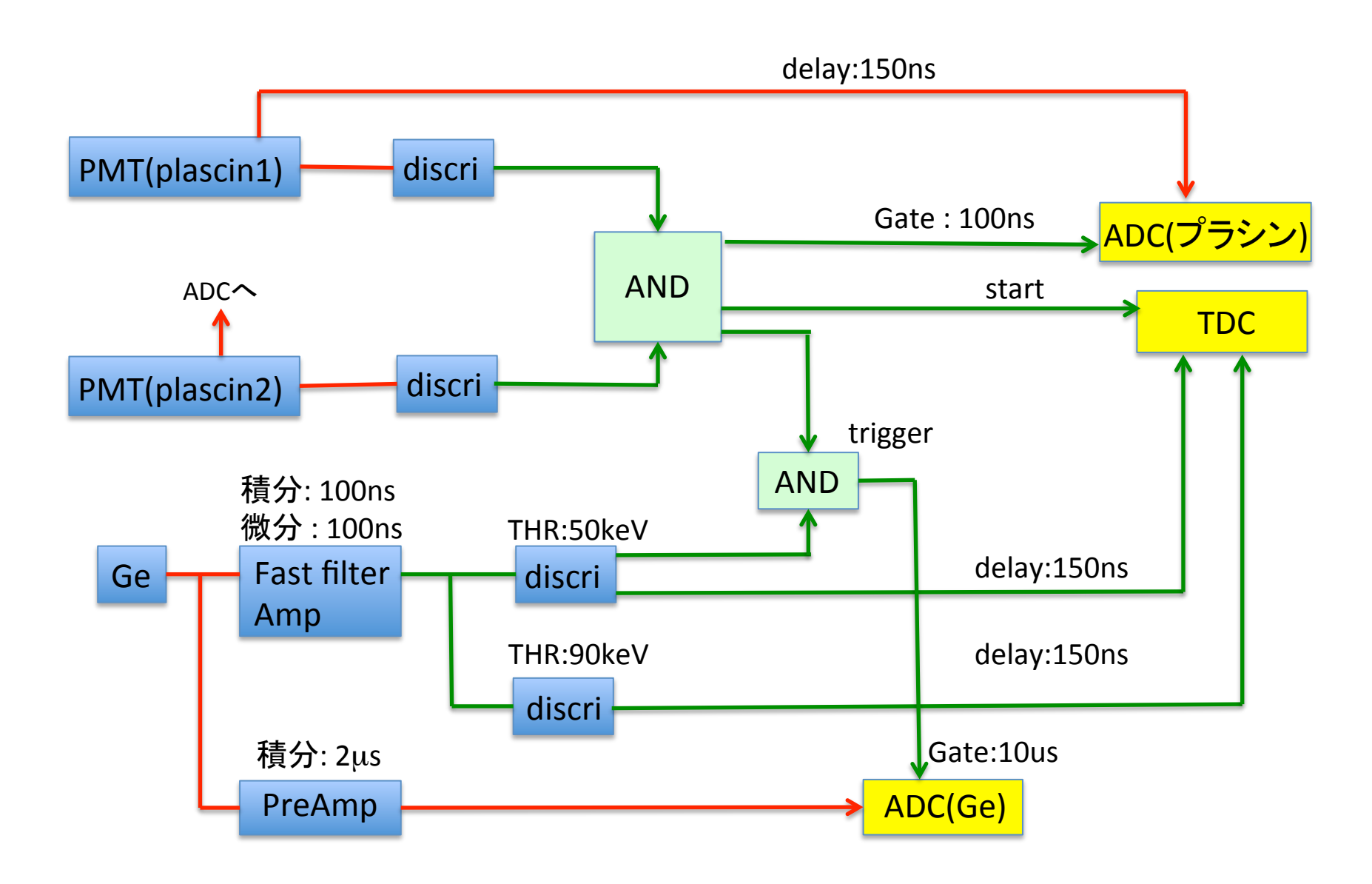
線源周りの断面図



線源周りの写真(上図を下から見た図)



## 3.4 エレクトロニクス

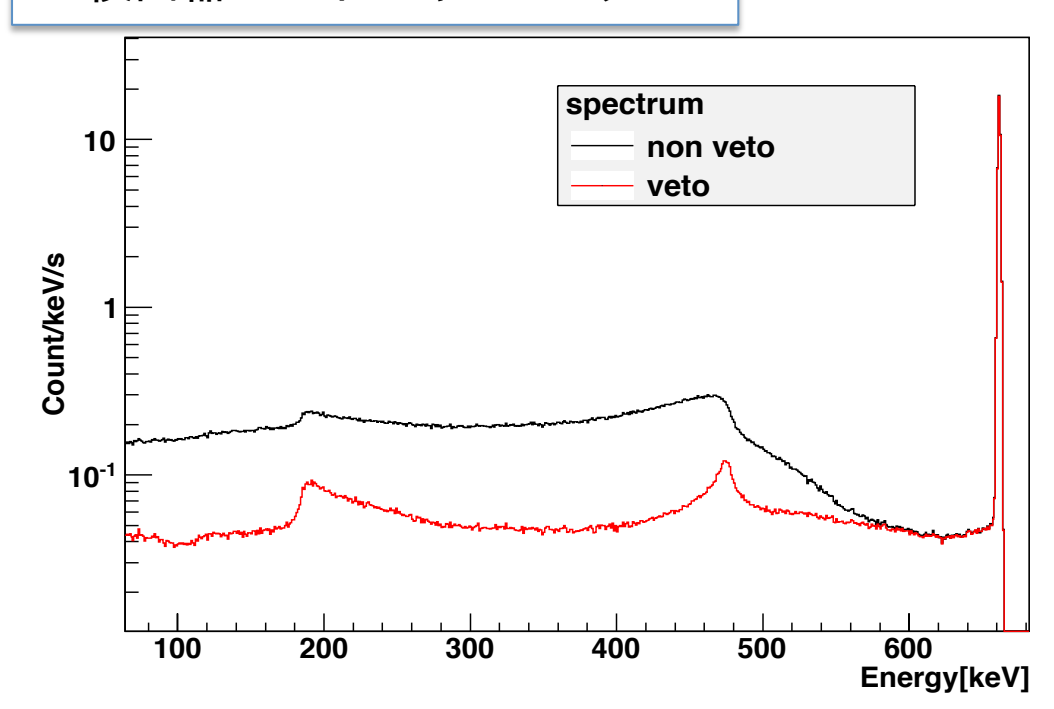


### 4.1 compton vetoのパフォーマンス

<sup>137</sup>Csを使い、662keV単色光に対してvetoによりどれだけコンプトン散乱を抑制出来るかテストした

Cslに100keV以上エネルギーがあったらvetoをした。

#### Ge検出器のエネルギースペクトル



光電吸収(660keV~664keV): コンプトン散乱(50keV~659keV)

= 1:2.67 vetoなし

= 1:0.87 vetoあり



Vetoにより、コンプトン散乱を 1/3に抑制できる

## 4.2 vetoしきれないイベント

#### Geant4でvetoしきれないイベントを調べた

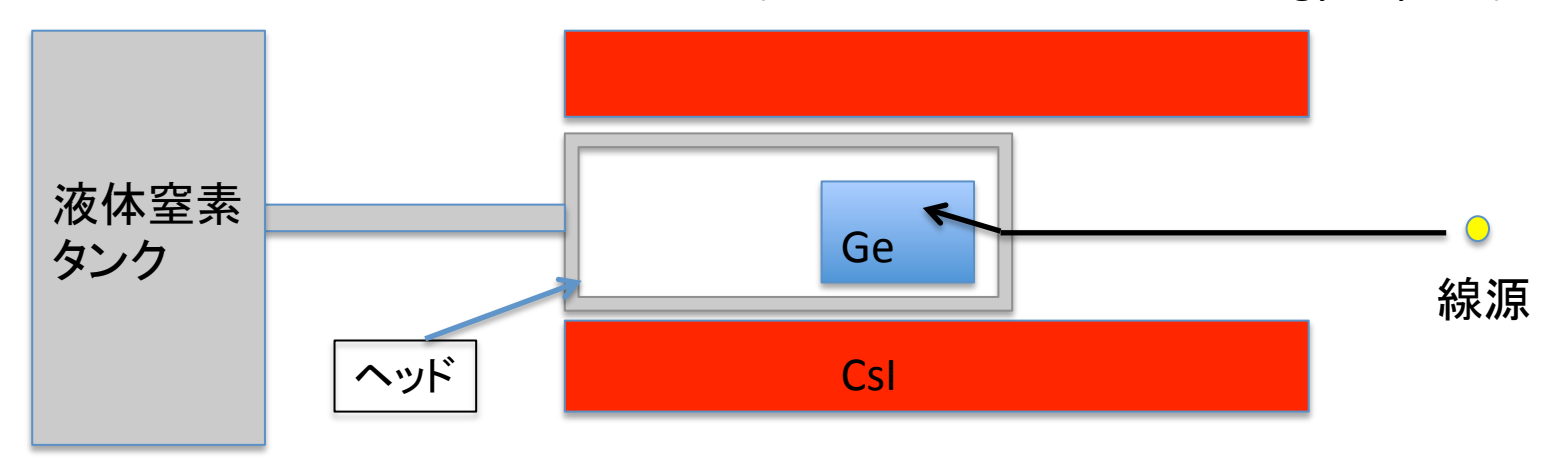
Vetoしきれなかったイベントの詳細

前方散乱	後方散乱	Ge検出器内の物質で energy deposit	CsIで100keV以下の energy deposit
6.0%	5.8%	80.6%	7.5%



多くがGe検出器内の物質によるもの。 これ以上veto性能をあげることは難しい。

• Vetoしきれないイベントの例(Ge検出器の不感層でenergy deposit)

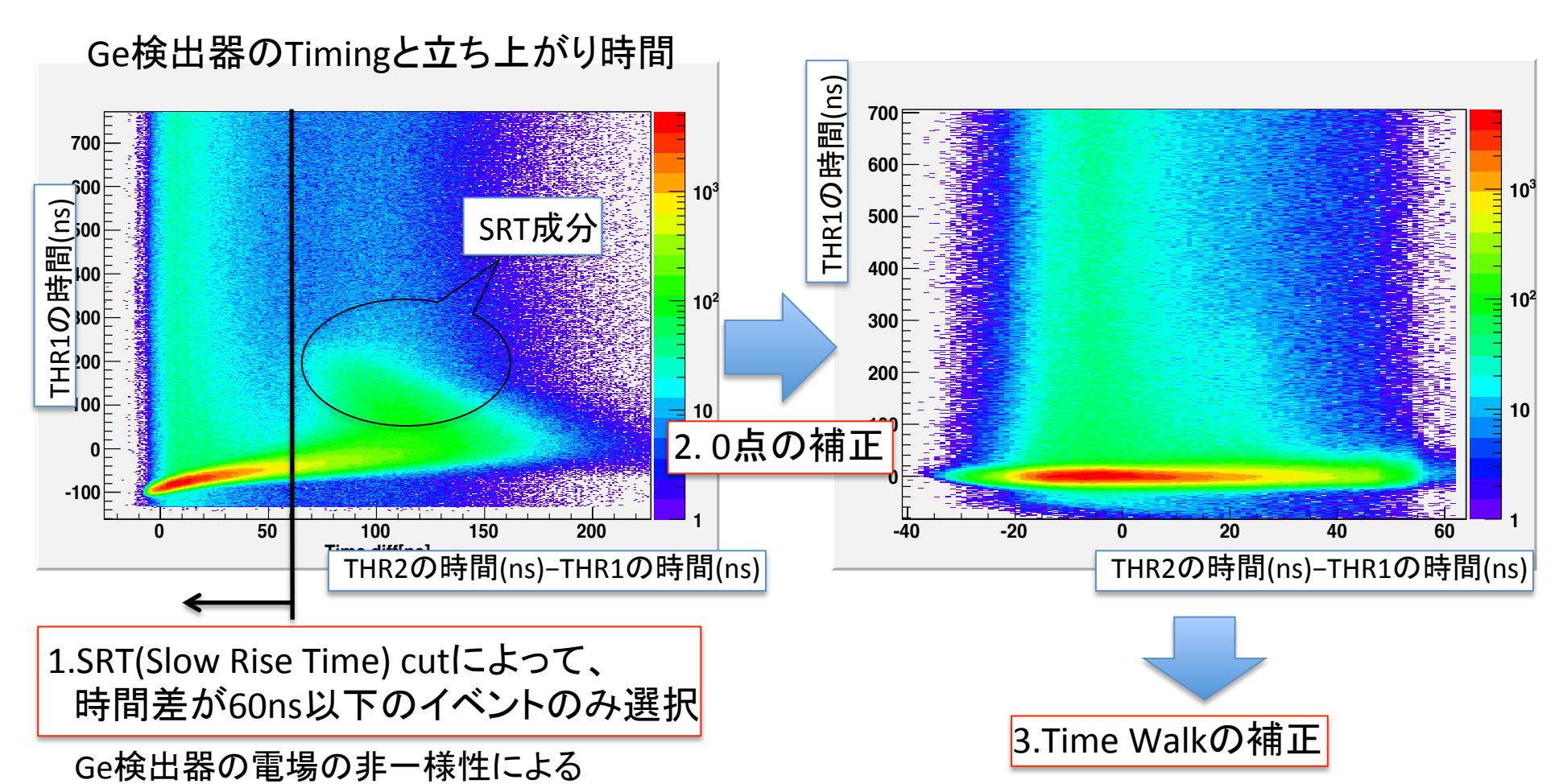


## 5.1予備測定(Timing)

1週間ほど測定を行った

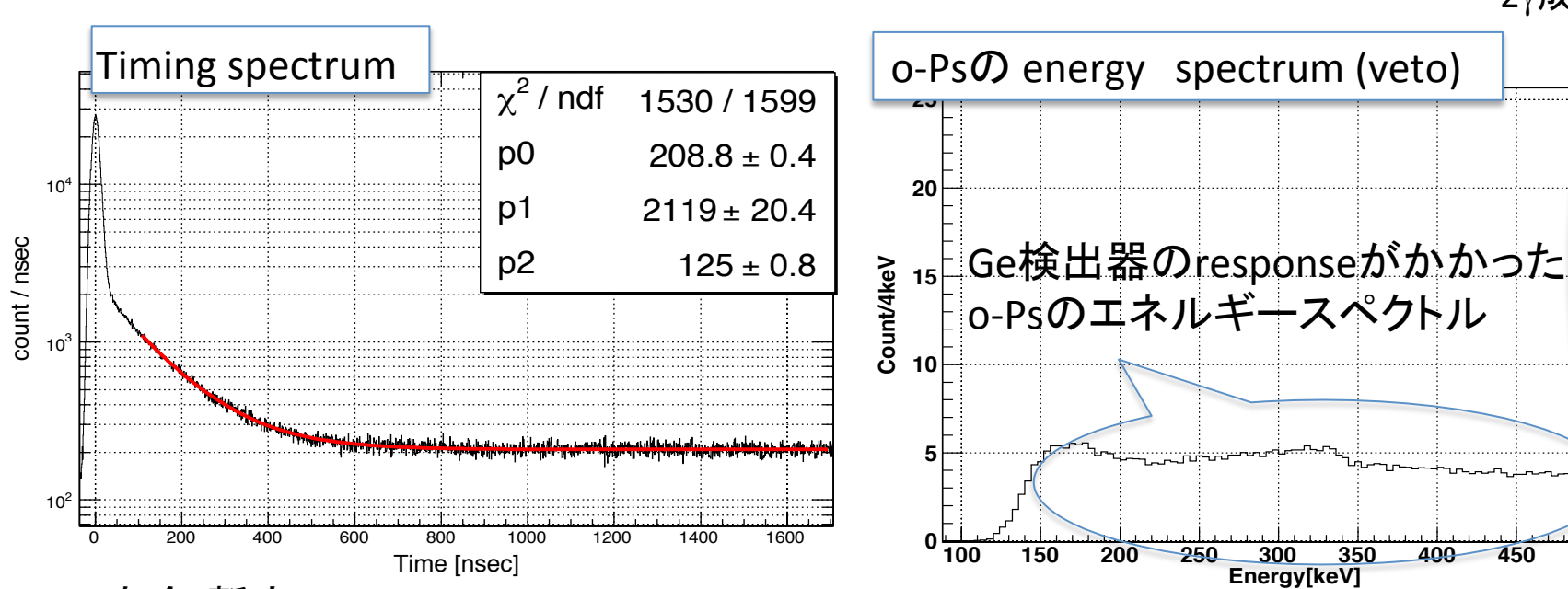
Geのtimingを求める方法

信号の立ち上がりが遅いイベントをcut



# 5.2予備測定(energy)

- タイミングスペクトルは360keV~507keVでenergy cut
- Delayed coincidence : 100ns ~ 400ns
- エネルギースペクトルはCsIに100keV以上のエネルギーがあった
  イベントをveto
  2y成分



寿命(暫定):125+/-0.8ns

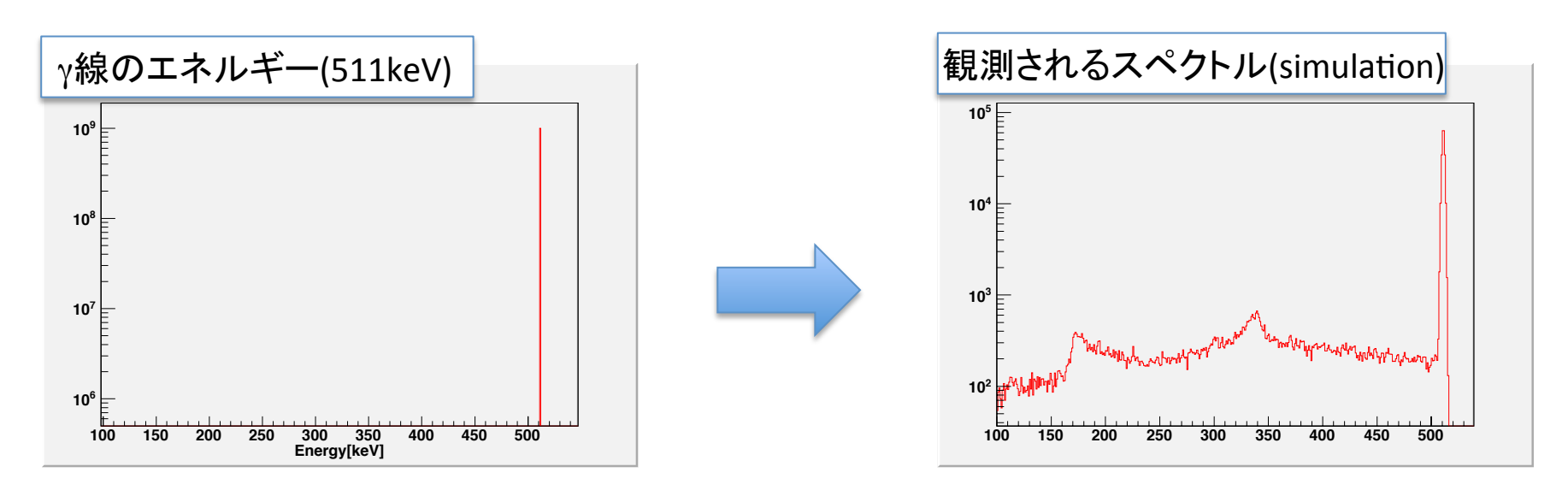
o-Psの検出rate <u>7Hz</u>



約1年のrunで精密測定できる

### 5.3 引き戻し

• 測定されるスペクトルは、検出器のresponseがかかってしまう。



- →検出器のresponseがかかったスペクトルから、本来のスペクトルに引き戻す必要がある
- →現在シミュレーションによって求めた応答関数を用いての引き戻しを開発中

## まとめ

• PsのHFSのずれは未知粒子の存在によって説明することができ、エネルギースペクトルを測定することによって、 $10^{-5}\Gamma_{3\gamma}$ の感度で検証できる

• Ge検出器を用いて、周りのCslでvetoをかけることによって、コンプトン散乱を通常の1/3に抑制できる。

• 予備測定のパフォーマンスなら、約1年程度のrunで 測定出来る。